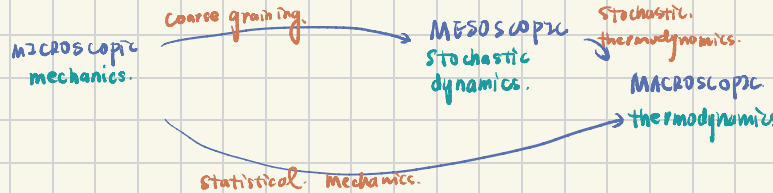


Day 1-2 A Brief Review of Thermodynamics.

热力学研究，介观统计（宏观 ~ 微观，与热运动解耦的统计）。



→ 热力学三定律。

通过热力学研究的系统 "reservoir". 热力学研究的 "thermodynamic process" 之后，我们的热力学研究的大系统由组成的系统在平衡时的行为。（通过宏观的可观察量和认知系统）。

这种研究方法有局限性的，因为平均值抹除了历史。我们只能记录一些热力学，e.g. P, T, V . 知道它们在某个平衡点上的值，则可以预测在以后某热力学过程中的值，因此我们只能是热力学确定性的。

我们称 "一个不能把系统做功的系统与外界进行能量交换" 的过程为绝热过程，反之称为非绝热过程。

热零律： $S_1 \leftarrow S_2, S_2 \leftarrow S_1$. 这允许我们定义温度 θ . 一个温度规定为 θ , 可以是很大的体积称为热库。为了达到一个标准的温度，我们需要一个热力学上的标准，称为温度计。

根据角速度 ω , 不做功 $\Delta Q = W - \Delta E$ (热)

热力学过程的不可逆性中熵增加，而二：孤立系统熵不变。热力学系统的熵随时间增加。

- 对称：系统对称等于不做的热力学之和。 $S(U, S) = S(S, U)$ 从而熵与 E, V, N 一样，都是对称的。 $S(E, N, V, N) = S(N, E, V, N)$.

- 单调性：我们来研究 $\frac{\partial S}{\partial E}$ 的关系。

- 凸性：给两个得是 $S_0 = (\alpha \cdot V_0, E_0), S_1 = (N, V_1, E_1)$ 之中得 $S_0 = (N, \alpha V_0 + (1-\alpha)V_1, \alpha E_0 + (1-\alpha)E_1)$. $\Rightarrow S(E) = (-\alpha)S(S_0) + \alpha S(S_1)$.

利用第二开尔文定律，麦克斯韦玻耳兹曼的统计，平衡时得 S 最大。有 $\partial S_1(E_1) + S_2(E-E_1) / \partial E_1 = \frac{1}{T_1} - \frac{1}{T_2} = 0$. 从而 $\frac{1}{T_1} = \frac{1}{T_2}$.

从这里我们可以知道热力学的一个性质，看两个例子 $(T_1, E_1), (T_2, E_2)$ 的情况。它们经过某种热力学过程， E_1, E_2 ，如果移动后，熵变向

$S = S_1(E_1) + S_2(E_2) \leq S_1(E) + \frac{E_1 - E}{T_1} + S_2(E) + \frac{E_2 - E}{T_2} = S_1(E) + S_2(E) + (E_1 - E) \left(\frac{1}{T_1} - \frac{1}{T_2} \right)$ 由于 $S_1(E_1) + S_2(E_2) = S_1(E_1) + S_2(E_2)$ 从而 $(E_1 - E) \geq 0$ PP 系统功耗 $\frac{1}{T_1} > \frac{1}{T_2}$.

这说明熵随温度降低而减小，few ideal gas 例子：对于绝热系统有 $dE = -pdV$. 由于系统内部的能与膨胀成正比，从而有：

$$\frac{\partial S}{\partial V} |_{T=0} = \frac{\partial S}{\partial V} |_{T=0} + \frac{\partial S}{\partial T} |_{V=0} \frac{\partial T}{\partial V} = -p + T \cdot \frac{\partial S}{\partial T} = \frac{\partial S}{\partial T} = p/T$$

体膨胀系数 $\alpha = \beta/k_B T$ - Planck. 热违：热机不可从单一热库吸收并对外做净功（即节能量单体熵减）。

→ 热力学

在我们的模型“发动机”的时候，我们常谈不向温度工作的热机。

T_{hot}

总热量 $S_{tot} = S^{sp} + S^{re}$. \triangle 我们使用以热进热出的耗散循环假设，所以在一个循环中 $\Delta S^{re} = 0$.

T_{hot}

Engine work is also $W = E_{hot} - E_{cold}$.

\rightarrow "the work performed on an engine" & $W = E_{hot} - E_{cold}$. 定义热效率 $\eta_{th} = -W/E_{hot}$. 则有效功 $\eta_{th} = \text{com}/T_{hot}$. 下面我们将详细说明。

T_{cold}

直译着，从热到 hot 假设，而向 cold 变冷。从而 $\eta_{th} = -\frac{\sin}{\sin}$.

→ 自由能、非平衡态自由能。对。

石墨力学中通过勒让德拉格朗日的方程 $F(T, M, V) = E(S, M, V) - TS$. 这个模型是 $T \rightarrow S$ 通过将 S 乘以热力学强度 $\frac{\partial F}{\partial S}|_{M,V} = T$ 之间来得到的。

$$dF = (T dS - p dV) - T dS - SdT = -pdV - SdT \Rightarrow S = -\frac{\partial F}{\partial T}, \quad P = -\frac{\partial F}{\partial V}. \quad \text{从而有 Maxwell 关系: } \frac{\partial^2 F}{\partial T \partial V} = \frac{\partial^2 F}{\partial V \partial T} = -\frac{\partial P}{\partial T} = -\frac{\partial S}{\partial V} |_T.$$

功耗不依赖 (S, M, V) 移动到另一平衡态。这过程 $S^{re} = S^{sp} + S^{res} \neq 0$ 而不然 $\Delta E = W - S = W - TS^{res}$. $W \geq \Delta E - T S^{res}$. 表明可以预测与热库接触的底温零度后下限和上界。定义 $F^{eq}(T, S, M, V) = E(S, M, V) - TS$. \triangle 现在的 T 是热库温度。该证：非平衡功由平衡时的状态量和热库的 T 同决定的。

而平衡时则上取 min_S (上述微弱让得重负). $F(T, M, V) = \min_S F^{eq}(T, S, M, V)$. 你可以在热库已知起来，从而与热库，在平衡时已知的平衡条件为中 $(E, T, V, P, \bar{n}) = E - TS - \bar{n} \mu M$

→ 微分力学。

一个系统有始末的状态，并且它在这些状态之间进行转换。我们观测的是时间平衡，而不做任何时间平均数和不保平衡。利用「能量是一定的」得 S 最大，都是上面讲过的。

可以这样 微正则 (Boltz) 正则 (与热库接触)、反正则 (与热库、辐射接触)、双正则 (得零)。我们有 $P_B^{eq} = \frac{1}{k_B} \exp(-E_B/k_B T)$ 正 = $\frac{1}{k_B} \exp(-E_B/k_B T)$

容易知道 $F = -k_B T \ln Z$. 最简单的形式是 ideal gas.

$$F = -k_B T \ln Z = -k_B T \cdot \ln \left[\frac{N}{V!} \int \frac{d\pi}{h^3} \left[\frac{h^3}{N!} \exp \left(-\frac{p_i h^3}{2m k_B T} \right) \right] \right] = N k_B T \cdot \ln \left[\frac{N}{V!} \left(\frac{h^3}{2\pi m k_B T} \right)^{3/2} \right]$$

只有添加这个积分才能算出这个的。

$$\text{从而 } \mu = \frac{\partial F}{\partial M} = k_B T \ln \frac{N!}{V!} + P^{(0)}.$$

$$P = -\frac{\partial F}{\partial V}|_{T, M} = k_B T \cdot \frac{\partial \ln Z}{\partial V} = \frac{N k_B T}{V}.$$

$$\text{直接得得: } \frac{\partial \ln Z}{\partial P} / \frac{\partial P}{\partial T} = k_B T^2 \cdot \frac{\partial \ln Z}{\partial T}.$$

所以这里我们看到 宏观性质没有啥深意。微观本征没有。

通过外一面对流热耗散的不正确的证明。考虑 $\mu_B = \frac{1}{k_B} \exp(-E_B/k_B T)$. 假设最初：

$$\frac{\partial \ln Z}{\partial P} = \frac{\partial \ln Z}{\partial Z} \cdot \frac{\partial Z}{\partial P} = \frac{1}{Z} \frac{\partial Z}{\partial P} = \frac{1}{Z} \frac{\partial}{\partial P} \left(\frac{1}{k_B T} \exp(-E_B/k_B T) \right) = \frac{1}{Z} \cdot \frac{1}{k_B T} \cdot (-E_B/k_B^2 T^2) \exp(-E_B/k_B T) = -\frac{E_B}{k_B T} \exp(-E_B/k_B T).$$

$$\frac{\partial \ln Z}{\partial P} \Big|_{P=1/k_B T} = -\epsilon \exp(-\epsilon/k_B T).$$

$$\text{且证明第二项是会得方程 } \frac{\partial^2 \ln Z}{\partial P^2} = \langle \epsilon^2 \rangle - (\langle \epsilon \rangle)^2 \geq 0$$

我们可以看到这，若正比于“尺度”的 ϵ -次方。 $\frac{1}{\langle \epsilon \rangle} \sqrt{\langle \epsilon^2 \rangle - (\langle \epsilon \rangle)^2} \propto 1/\langle \epsilon \rangle$

下面我们将计算一个直接的表达式：

$$\frac{\partial^2 \ln Z(p)}{\partial p^2} = \frac{\partial}{\partial p} \left(\frac{\partial \ln Z(p)}{\partial p} \right)_T = \frac{\partial}{\partial p} (-\kappa T e^{-\beta E})_T = \frac{\partial}{\partial p} \frac{\partial}{\partial (\beta E)} \cdot \frac{\partial}{\partial T} \frac{\partial T}{\partial (\beta E)} = \frac{\partial}{\partial p} \left(\frac{\partial}{\partial T} \right)_E = -\kappa^2 T^2 \cdot \frac{\partial}{\partial T}$$
$$\Rightarrow \frac{\partial^2 \ln Z(p)}{\partial p^2} = k_B T^2 \cdot \frac{\partial \kappa^2 e^{-\beta E}}{\partial p}$$

总结一下，我们对序参量求导：

$$\begin{aligned} \frac{\partial \ln Z(p)}{\partial p} &= \frac{\partial}{\partial p} \left(\frac{1}{Z} \sum_i e^{-\beta E_i} \exp(-\beta E_i) \right) \\ &= \frac{1}{Z} \frac{\partial}{\partial p} \left(\sum_i e^{-\beta E_i} \exp(-\beta E_i) + \left(\sum_i e^{-\beta E_i} \exp(-\beta E_i) \right) \frac{\partial}{\partial p} \left(\frac{1}{Z} \right) \right) \\ &= \frac{1}{Z} \frac{\partial}{\partial p} \left(\sum_i e^{-\beta E_i} \exp(-\beta E_i) \right) + \left(\sum_i e^{-\beta E_i} \exp(-\beta E_i) \right) \cdot \left(-\frac{1}{Z^2} \right) \cdot \frac{\partial^2}{\partial p^2} \\ \Rightarrow \frac{\partial \ln Z}{\partial p} &= \kappa T e^{-\beta E} - (\kappa T e^{-\beta E})^2 \end{aligned}$$

从而我们得出结果是一致的。

$$\frac{\partial \left(\sum_i e^{-\beta E_i} \exp(-\beta E_i) \right)}{\partial p} = \sum_i e^{-\beta E_i} \exp(-\beta E_i) \cdot \kappa T$$

最后，我们强调 $\exp(-\beta E/T)$ 是处在另一个能级空间上的概率。若我们要了解基态的贡献，则需考虑简单化。

我们最初对情况的定义为两个重要向量的确定：系统在不同能级上的概率。称其为 $SCE = k_B \ln W(E)$ 。

$$\Rightarrow p^{eq}(E) = p_E^{eq} \cdot W(E) = \exp \left(-\frac{1}{k_B T} (E - TS(E) - F) \right), \quad SCE \text{ 是能级上出现的概率，所以 } p_E^{eq} \text{ 可以写成与 } SCE \text{ 有关的形式}$$

Stochastic Dynamics.

现在，我们研究一个与热力学相关的随机过程的系统，称其为状态空间为 $x(t)$ 的热力学的随机过程。大多数在物理中出现的系统有 Markovian。你可能对一个 Markov process 进行过研究，从而有所谓 C-K 方程： $p(x,t|x_0,t_0) = \sum_x p(x,t|x_0,t_0) \cdot p(x_0,t_0)$ 。我们把“ x 在 t 时刻由 x' 处转移”理解为从位置 x 到位置 x' 的概率 $p_{x \rightarrow x'}$ 或 Green 函数。当然还有 $\delta_{xx'} = 1$ 。由 x_0, t_0 确定，系统在任意时间的性质是：右有限且不随时间而变。

$$p(x,t+dt|x,t) = \delta_{xx'} + dt \cdot \dot{Q}_{xx'}(t).$$

这里， x 对于从 x 到 x' 移动的速率，而 x' 对于从 x 移动的速率。从而我们有 $\begin{cases} \dot{Q}_{xx'}(t) \geq 0, & x \neq x' \\ \sum_{x'} \dot{Q}_{xx'}(t) = -\sum_x \dot{Q}_{xx'}(t), & \text{且 } \sum_x \dot{Q}_{xx'}(t) = 0. \end{cases}$

$$\text{从热力学上，} p_{x(t+dt)} - p_{x(t)} = \sum_x \delta_{xx'} p_{x(t)} + \sum_{x'} \delta_{x'x} p_{x(t+dt)} = \frac{dp_{x(t)}}{dt} = \sum_x \delta_{xx'} p_{x(t)}$$

对于较长时间的时候，我们有： $p(x,t|x_0,t_0) = \int dx' \cdot p(x'|x_0,t_0) \cdot p(x',t|x_0,t_0) dx'$ 。这说明，此时的演化过程有如下形式： $\frac{d}{dt} p = \mathcal{L} p$ 。这是一个线性算子。

下面我们将几个具体例子进行讨论。

Master Eq.

该过程描述了离散状态间转移的速率。定义 λ : jump rate / 跳跃速率。 k_{xx} : 离散状态 x 转移至 x 的概率。从而我们有: $P_x(t+\Delta t) - P_x(t) = k_{xx} \cdot x^{\text{out}}$

$$\frac{d}{dt} P_x(t) = \sum_{x' \neq x} (k_{xx'} P_{x'}(t) - k_{x'x} P_x(t)).$$

inflow from
other states

outflow from
state x .

既然由主方程描述的系统（离散状态连续时间系统）可以用一张图来表达，若两个状态间有非0的 jump rate λ ，则有一条有向边。若状态 x 有被所有离散状态 x' 支配，则我们认为这个 jump network 是连通的。从 p_{out} 指向 x 的所有箭头塞进一个矩阵里。

$$\begin{bmatrix} -k_{11} & k_{12} & k_{13} \\ k_{21} & -k_{22} & k_{23} \\ k_{31} & k_{32} & -k_{33} \end{bmatrix} \begin{bmatrix} p_1^{\text{out}} \\ p_2^{\text{out}} \\ p_3^{\text{out}} \end{bmatrix} = \begin{bmatrix} p_1 \\ p_2 \\ p_3 \end{bmatrix}.$$

所以我们将 $K\pi = \pi$ ，从而平稳分布是单解的对称性。Peron-Frobenius theorem 指出，对于 master Eq. 它的第一特征值。

其余特征值有复数部，所以，动态系统 $\dot{P}(t) = K P(t)$ 。但是，这意味着 $\lim_{t \rightarrow \infty} P(t) = P^{\text{st}}$ 。

主方程可以被转化为一个线性方程，可引入矩阵流 $T_{xx'} = k_{xx'} P_{x'}(t) - k_{x'x} P_{xx}$ ，这里表示 $x' \rightarrow x$ 的“净”转移速率。平稳概率意味着 $\lambda_{xx'} = 0$ 。

若任意两个时间，流动速率相等，则我们有 $k_{xx'} P_{x'}(t) = k_{x'x} P_{xx}$ 。这称为精确平衡条件。只有特定的时候，jump network 才有精确平衡条件。

又根据在图论下，对于每个连通块的假设为：所以若网络中有非单流连通，它应该是一个子图。所以若图无向 (DAG)，则有 $p_{\text{eq}} \leftarrow p^{\text{st}}$ 。

若不然，除非完全不可行有 $p^{\text{st}} \leftarrow p^{\text{eq}}$ 。我们举一个简单例子。

若 $k_{11} = k_1$, $k_{21} = k_2$, $k_{12} = k_{21}$, 则对于箭头有:

$$k_{11} p_1 + k_{21} p_2 - k_{12} p_2 - k_{21} p_3 = 0 \quad \xrightarrow{\text{①}} \quad k_{11} (p_1 - p_2) + k_{21} (p_2 - p_3) = 0 \quad \xrightarrow{\text{②}} \quad \text{①} + \text{②}: k_{11} x_{12} - k_{21} x_{13} = 0 \quad (35) - \star.$$

$$\left\{ \begin{array}{l} k_{21} (p_1 - p_2) + k_{21} (p_2 - p_3) = 0 \\ k_{11} (p_1 - p_2) + k_{21} (p_2 - p_3) = 0 \end{array} \right. \xrightarrow{\text{---}} \quad k_{11} (p_1 - p_2) + k_{21} (-x_{12} + x_{13}) = 0 \quad \xrightarrow{\text{---}} \quad k_{11} (p_1 - p_2) + k_{21} (1 - 2p_2 + p_3) = 0 \quad \xrightarrow{\text{---}} \quad k_{11} (p_1 - p_2) + k_{21} (1 - 2p_2 + p_3) = 0.$$

经过一些复杂的计算，我们可以得知此时 $p_{\text{eq}} \leftarrow p^{\text{st}}$ 。直观上，原因是驱动推平流正向流动的速率，等于反向流动的速率。

我们在重新 Master Eq. 描述的系统的“性质”：(* p^{st} 不等于零且不等于 1*)。考虑不同 x_0, \dots, x_p 在 $[t_0, t_{p+1}]$ 内分段于 x 。

从而有一条路径 $\tilde{x} = [x_0, x_1], (x_1, x_2), \dots, (x_p, x_p]$ 我们能给每段的 p_{x_i} 。指丁 = $t_{p+1} - t_0$ 分成 n 个阶段， $\text{cat} = \frac{t_{p+1}}{n}$ 。

其中一个显著的特点是“第一阶段” f_1 。

$$\text{考虑高斯分布 } \vec{x}^{\text{desc}} = (x_0, x_1, \dots, x_N), \text{ 则 } \text{NIP } P_{\vec{x}^{\text{desc}}, t=0} = \prod_{i=1}^N P_{x_i; t=0} = \prod_{i=1}^N \exp(-\frac{1}{2} (x_i - \mu_i)^2 / \sigma_i^2) = \prod_{i=1}^N \left(S_{x_i, t=0}^{k_i} + \text{err} \cdot I_{x_i, x_{i+1}, t=0} \right).$$

对于“高斯”的 $t=1$ 。

$$\text{由 Edwells, } P_{x_1; t=0} dt + x_2; t=0 = \pi_{x_1} \left(1 - dt_{x_1} K_{x_1}^{\text{out}} \right) \approx \exp \left(-\Sigma_{x_1} K_{x_1}^{\text{out}} (t=0) dt \right) = \exp \left(- \int dt \cdot K_{x_1(t)}^{\text{out}} \right)$$

$$\text{从而有一条路径上的转移概率 } \mathbb{P}_{\vec{x}} = P_{x_0, t=0} \cdot \exp \left(- \int_{t=0}^{t=1} dt \cdot K_{x_0}^{\text{out}} (t) \right) \cdot K_{x_1, t=1} \cdot \dots \cdot \exp \left(- \int_{t=1}^{t=2} dt \cdot K_{x_1}^{\text{out}} (t) \right)$$

形式上说，我们有了 path Integral。令 $\mathbb{P}_{\vec{x}} = \sum_{n=0}^N \sum_{x_0, \dots, x_n} \int_{t=0}^{t=1} \dots \int_{t=n-1}^{t=n} dt \dots dt_n$ 由 (3-1) $\int d\vec{x} \cdot \mathbb{P}_{\vec{x}} = 1$.

$$\text{我们图形化地用链表示 (因为忘记了所有向量的张量积), 例如本 (也叫 path Int)} \text{从有: } \int d\vec{x} \cdot \mathbb{P}_{\vec{x}} = \sum_{x_0} \left(\mathcal{T} \exp \left(\int_{t=0}^{t=1} dt \cdot K_{x_0}^{\text{out}} \right) \right) x_{t=0} \cdot P_{x_0, t=0} = \sum_{x_0} P_{x_0, t=0} = 1.$$

→ Fokker Planck Eq.

我们通过 F. Einstein 而引出 Fokker-Planck 方程。在“高斯, 稳定态”时刻 $t=0$, 以至于在 $t=1$ 时运动状态。这与 $t=0$ 时, 及 x , 且 x 的分布 (假设 $t=0$ 时已知)。且有: $p(x, t=0) = \int dx_0 p(x_0, t=0) \cdot p(x-x_0, t)$ 。由于 x, x_0 都是“高斯”的 NIP 我们用其 Taylor 展开至二阶 (当然没有我们用 Two's formula, 因为那时我们不知道什么有 $=T$)。

$$p(x, t=0) = \int dx_0 p(x_0, t=0) \cdot [p(x, t=0) - x \cdot \frac{\partial}{\partial x} p(x_0, t=0) + \frac{1}{2} x^2 \cdot \frac{\partial^2}{\partial x^2} p(x_0, t=0)]$$

且在 $t=0$ 加速度下, 其运动方程。由 $\dot{x}(0)$ 为初值函数, 从而我们立刻有:

$$p(x, t=0) - p(x, t) = \frac{1}{2} \langle x \dot{x}^2 \rangle \frac{\partial^2}{\partial x^2} p(x, t) \quad \text{又得: } \lim_{x_0 \rightarrow x} \frac{\cos x^2 - 1}{2x^2} = D, \quad \text{即: } \frac{\partial}{\partial x} p(x, t) = D \frac{\partial^2}{\partial x^2} p(x, t) \quad \text{且能为高斯分布 } p(x, t) = \frac{1}{\sqrt{4\pi D T}} \exp \left(-\frac{(x-x_0)^2}{4DT} \right).$$

但 \dot{x} 是随机过程的运动并不等于 \dot{x} 。我们设 $\dot{x}(t) = \dot{x}_0$ 为常数, 则 $x(t) = x_0 + \dot{x}_0 t$ 。且 $\dot{x}(t) = \lim_{\Delta t \rightarrow 0} \frac{x(t+\Delta t) - x(t)}{\Delta t} = D \dot{x}_0 + \frac{\langle x \dot{x}^2 \rangle_{x_0, t}}{2\Delta t}$ 。

按上面的推导, 我们就有: $p(x, t=0) - p(x, t) = \int dx_0 p(x_0, t=0) \cdot x_0 \cdot -\frac{\partial}{\partial x} p(x_0, t=0) + \frac{1}{2} \int dx_0 p(x_0, t=0) \frac{\partial^2}{\partial x^2} p(x_0, t=0)$ 。
 $= \dot{x}_0 t \cdot -\frac{\partial}{\partial x} p(x_0, t=0) + D t^2 \frac{\partial^2}{\partial x^2} p(x_0, t=0) \quad *$. 注意这个条件, 你必须知道真实物理过程。

$$\text{通过随机分析方法给生出 F-P 方程为: } \frac{\partial}{\partial t} p(x, t) = -\frac{\partial}{\partial x} [\dot{x}(t) \cdot p(x, t)] + \frac{\partial^2}{\partial x^2} [D p(x, t)] \quad \text{这个方程可以写成更简单的形式, } \frac{\partial}{\partial t} p(x, t) = -\frac{\partial}{\partial x} J(x, t), \quad J(x, t) = \dot{x}(t) p(x, t) - \frac{\partial}{\partial x} [D p(x, t) \cdot p(x, t)].$$

本节 F-P 方程, 我们通常使用的边界条件 $p(x, t=0) = 1$ 为初值。演化方程为 F-P 方程, 且有 F-P 方程 $-\frac{\partial}{\partial t} p(x, t=0) = \dot{x}(t=0) \frac{\partial}{\partial x} p(x, t=0) + D p(x, t=0) \frac{\partial^2}{\partial x^2} p(x, t=0)$ 。

对 F-P 方程, 平衡解: $\frac{\partial}{\partial x} J(x) = 0$

$$\left\{ \text{精确解: } J(x)=0 \Rightarrow p(x) \text{ 证明在精确平衡态下, F-P 方程有解!} \right. : p(x) \propto \frac{1}{D(x)}, \exp \left(\int_{x_0}^{x_1} dx \cdot \frac{\dot{x}(x)}{D(x)} \right)$$

→ Langevin Dynamics and Stochastic Calculus

D(X)、随机小数 η 的随机过程和随机微分的过程。设 $X(t)$ 在时间轴上进行, 该过程的运动规则: SDE 表示:

$$\frac{dx}{dt} = v(x, t) + \sigma(x, t) \cdot \eta(t), \quad \text{假设由白噪声产生, 有性质: } \langle \eta(t) \rangle = 0, \quad \langle \eta(t) \eta(t') \rangle = \delta(t-t').$$

我们得出随时间的n个重叠值， $\int_0^t w(u) du = \int_{t_0}^t du \cdot g(u) = \int_{t_0}^t dw$.

重叠值， $\langle w(t) \rangle = \left\langle \int_{t_0}^t dw \cdot g(u) \right\rangle = \int_{t_0}^t dw \cdot \langle g(u) \rangle = 0$

$$\text{证} \quad w^2(t) = \left(\int_{t_0}^t g(u) du \right) \left(\int_{t_0}^t g(u) du \right) = \int_{t_0}^t \int_{t_0}^t dw \cdot g(u) \cdot g(v) = \int_{t_0}^t dw \int_{t_0}^t dv \cdot g(u) \cdot g(v)$$

$$\langle w^2(t) \rangle = \int_{t_0}^t dw \int_{t_0}^t dv \langle g(u) \cdot g(v) \rangle = \int_{t_0}^t dw \int_{t_0}^t dv \cdot g(u) \cdot g(u) = T$$

即证明在以上条件下， $w(t)$ 有高斯分布。 $p(w(t)=w) = \frac{1}{\sqrt{2\pi T}} e^{-\frac{|w|^2}{2T}}$ 。
与之对应的下一样是已得对称高斯分布。 $p(w(t)=w) = 6.8\% \quad \text{对称} \quad D=6\%$ 。

同时而言，每一个 SPC 的解应以 Ito 形式。 $Pdt \cdot g(t) \cdot f(x(t), t) = \int dw(t) \cdot f(x(t), t)$ 。→ 逐个状态值乘积在每个小区间内这样的“参数”。所以我们可以知道：

$$\text{Ito 互易律} \quad \mathbb{E}[w(t), \text{left}] = \lim_{dt \rightarrow 0} \sum_{k=0}^{N-1} [w(t+kdt) - w(t)] \text{fix}(x(t), dt)$$

$$\text{Stratonovich. 方程. } I_{\text{strat}} = \lim_{dt \rightarrow 0} \sum_{k=0}^{N-1} [w(t+kdt) - w(t)] \triangleq [f(t, \text{left}) + \text{fix}(x(t), dt)]$$

由于不同的随机微分方程有不同的 SDE 的平均，
* 不同随机 SDE 的随机数。

$$\text{Stratonovich 对应的 Ito 的平均. } \text{fix}(x(t), dt) = -\frac{\partial}{\partial x} \cdot \nabla p + \frac{1}{2} \cdot \frac{\partial^2}{\partial x^2} (\sigma^2 p). \quad \begin{cases} \text{Ito:} & \frac{dx}{dt} = v(x,t) + \frac{1}{2} \cdot \text{cov} \cdot \frac{\partial}{\partial x} (\sigma^2 p), \text{ 随机数.} \\ \text{Strat:} & \frac{dx}{dt} = v(x,t) + G(x,t) \cdot \xi. \end{cases}$$

右端上，二者有区别。 $\{ \text{fix}(x(t), dt) \} = 0$. Strat 不是.

$$\{ \text{fix}(x(t), dt) \}_{\text{Strat}} = \text{fix} \cdot dx \quad \text{即为 Ito 的平均 (Ito formula).} \quad df(x) = \text{fix} \cdot dx + \frac{1}{2} \cdot \text{fix}^2 \cdot \text{cov} \cdot dt.$$

Information Theory Basics.

信息是用来表征系统状态的不确定性。它具有以下性质：

在相等于某一确定状态时， I 在该条件下熵上的幅度相对最大。若系统由两个可能组成，则其信息量为两个对数之和。满足此性质的度量就是 Shannon entropy. $H(s) = -\sum p_i \ln p_i$.

特别地，若一个二进制的状态完全不确定，则我们有 $H(s) = \ln 2$ 。此时我们称（完全不确定的统计状态所需的）信息量为 1 bit / per 离子

对于处于热力学平衡的系统，其热力学熵正好等于信息熵。 $S = k_B \cdot H = -k_B \cdot \sum p_i^{\text{eq}} \ln p_i^{\text{eq}}$ 。特别地，对于纯态， $H(s) = -\sum p_i^{\text{eq}} \cdot \frac{F_i^{\text{eq}}}{k_B T} = -\frac{1}{k_B T} (\ln \sum F_i) = \frac{S_{\text{exp}}}{k_B T}$ 。（此时 $F_i = E_i - TS_i$ ）。

两个不同的随机变量的联合使用相对熵 / KL Divergence. $D_{KL}(p||q) = \sum p_i \ln \frac{p_i}{q_i}$ 。KL 距离有如下性质：

$D_{KL}(p||q) \geq 0$. 这由 $D_{KL}(p||q) = -\sum p_i \ln \frac{q_i}{p_i} \geq \ln \sum p_i \cdot \frac{q_i}{p_i} = -\ln \sum q_i = 0$. 其中运用了 Jensen 不等式。

使用 KL Divergence，我们可以定义所谓“有用”的信息。它使用 x,y 联合分布与它们各自独立时的 KL Divergence 衡量。

$$I(S_1, S_2) = \sum_{x_1} p_{x_1} \ln \frac{p_{x_1}}{p_{x_1} p_{x_2}} = \sum_{x_1} p_{x_1} \underbrace{\ln p_{x_1}}_{H(S_1)} - \sum_{x_1} p_{x_1} \ln p_{x_2}$$

$H(S_1|S_2) = -\sum_{x_1} p_{x_1} \ln p_{x_1}$ 表示为给定 S_2 时 S_1 的条件熵 在两个信源统计独立时, 也总有 $H(S_1|S_2) = H(S_1)$.

互信息这个量表示 $I(S_1; S_2) = H(S_1) - H(S_1|S_2) = H(S_1) - H(S_2|S_1)$.

定义联合分布的熵 $H(S_1, S_2)$. 分离性公理: $H(S_1, S_2) = H(S_1) + H(S_2|S_1) = H(S_1) + H(S_2) - I(S_1; S_2)$.

我们把互信息看成是两个事件的联合熵: $I(S_1, S_2) = -\sum_{x_1, x_2} p_{x_1, x_2} \ln \frac{p_{x_1, x_2}}{p_{x_1} p_{x_2}}$ 其中当 S_1, S_2 为给定 S_3 的时候 = 重叠的信息. 若令 $p_{x_3} = 0$, 则我们有 S_1, S_2 在给定 S_3 的情况下 条件独立.

它也有类似性质: $I(S_1, S_2; S_3) = I(S_1; S_2) + I(S_2; S_3 | S_1)$.